

СПИСОК ЛИТЕРАТУРЫ

1. Ефимов В.А., Эльдарханов А.С. Современные технологии разливки и кристаллизации сплавов. – М.: Машиностроение. 1998. – 360 с.
2. Лукин С.В., Шестаков Н.И., Страшко Т.И. Математическая модель теплообмена сляба с рабочей стенкой кристаллизатора машины непрерывного литья заготовок // Изв. вузов. Черная металлургия. – 2007. – № 3. – С. 13–16.
3. Лукин С.В., Шестаков Н.И., Страшко Т.И.. Зверев А.В. Охлаждение и затвердевание металла в кристаллизаторе машины непрерывного литья заготовок // Металлы, 2007. – № 3. – С. 20–26.
4. Шестаков Н.И., Калягин Ю.А., Манько О.В., Лукин С.В. Теплообмен в рабочей стенке щелевого кристаллизатора машины непрерывного литья заготовок // Проблемы машиностроения и надежности машин, 2004. – №3. – С. 78 – 81.
5. Цаплин А.И. Теплофизика внешних воздействий при кристаллизации стальных слитков на машинах непрерывного литья. Екатеринбург: Изд-во УрО РАН. 1995. – 238 с.
6. Хорбах У., Коккентидт Й., Юнг В. Литье сортовых заготовок с высокой скоростью через кристаллизатор параболического профиля // МРТ. – 1999. – С. 42 – 51.
7. .

621.825.52.001.2

**МЕХАНИЗМ УПРОЧНЕНИЯ АУСТЕНИТНЫХ СТАЛЕЙ
ПРИ ПЛАСТИЧЕСКОМ ДЕФОРМИРОВАНИИ***Докт. техн. наук, проф. В.А. Бубнов, канд. техн. наук, доц. С.Г. Костенко*

Установлено влияние пластической деформации аустенитных сталей на изменение их механических характеристик прочности, пластичности, ударной вязкости, а также магнитных свойств. На основании экспериментальных данных получена зависимость для определения предела выносливости аустенитных сталей, прошедших деформационное упрочнение.

В химическом, нефтяном и пищевом машиностроении, в медицинской технике широкое применение находят аустенитные стали. Этот класс стали характерен тем, что при достаточно высоком содержании ряда легирующих элементов (Cr, Ni – расширяющих γ область) получаются стали, в которых содержится аустенит при охлаждении до комнатной температуры [1]. Это хромоникелевые стали с содержанием хрома от 10 до 27% и никеля более 7% по ГОСТ 5632-72 [2]. Стандарт предусматривает порядка 50 марок сталей данного класса.

При изготовлении различного технологического оборудования из аустенитных сталей широко используются технологические процессы с применением пластического деформирования (гибка, вальцовка, штамповка, калибровка, правка). Пластическая деформация в холодном состоянии приводит к активному изменению физических и механических свойств.

В Курганском государственном университете и ОАО «Курганхиммаш» при участии Московского «НИИХИММАШа» уже более 25 лет ведутся работы по исследованию изменения физических и механических свойств аустенитных сталей на примере 12x18H9T и 12x18H10T при холодной пластической деформации в зависимости от степени деформации (ε_0). Интервал исследования по степени деформации $\varepsilon_0 = (0 \div 20)\%$.

Исследование механических свойств проводилось на образцах изготовленных из исходного металла и из металла прошедшего упрочнения пластическим деформированием в полном объеме (растяжением, сжатием, пластическим изгибом). На рис. 1 представлено изменение механических характеристик стали 12x18H10T в зависимости от степени деформации, а на рис. 2 изменение ударной вязкости этой стали также в зависимости от степени деформации (ε_0).

Для большей достоверности испытания повторялись несколько раз на различных поставках (плавках) металла и параллельно были проведены в лаборатории прочности «НИИХИММАШа» (г. Москва), на материалах представленных Курганским заводом химического машиностроения.

Механические характеристики сталей различных поставок имеют значительные различия по величине, однако, характер упрочнения и зависимость механических характеристик от степени деформации имеют одни и те же закономерности.

Предел прочности (σ_u) и предел текучести (σ_t) увеличиваются свои величины при наклепе наиболее активно в начальный период упрочнения, при степенях деформации $\varepsilon_0 \leq 5\%$.

Остаточное относительное удлинение (δ) несколько активнее снижает свою величину в начальный период упрочнения ($\varepsilon_0 \leq 2\%$), а далее активность этого снижения уменьшается и оно имеет равномерный характер.

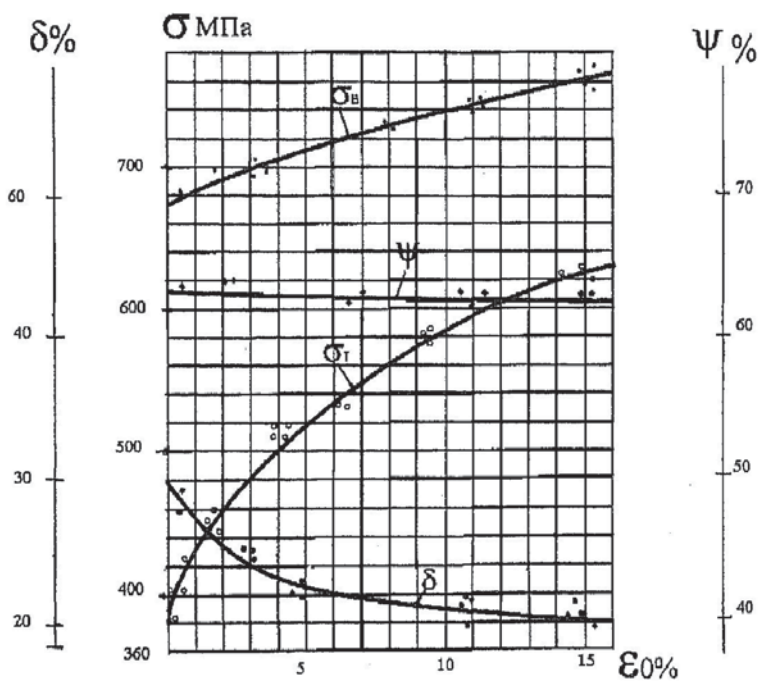


Рис. 1. Механические характеристики стали 12x18H10T в зависимости от степени деформации ε_0

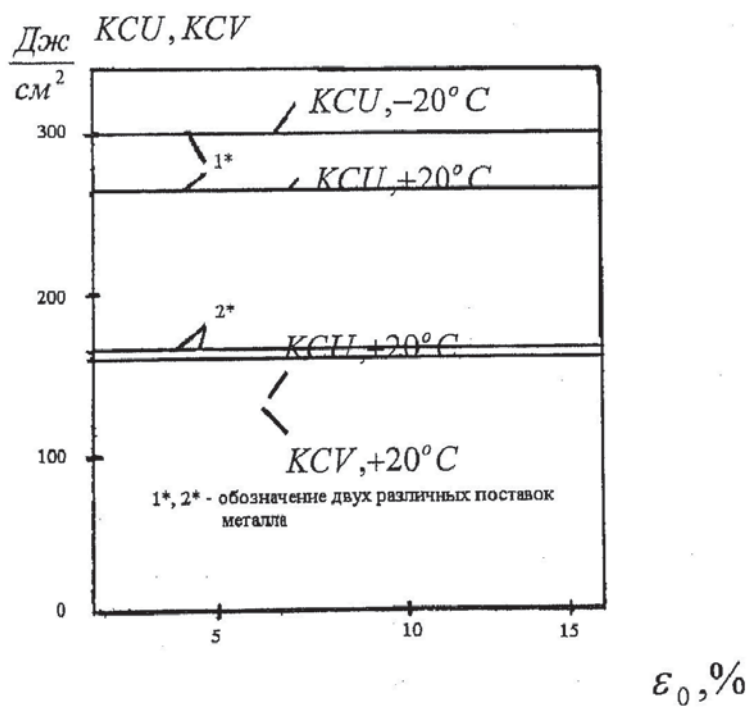


Рис. 2. Зависимость ударной вязкости (KCU, KCV) от степени деформации

для стали 12x18H10T при деформационном упрочнении

Остаточное относительное сужение (ψ) мало изменяет свою величину, а в области $\varepsilon_0 \leq 5\%$ эта характеристика пластичности остается практически неизменной. Для стали 12x18H10T при степени деформации $\varepsilon_0 \leq 15\%$ снижение остаточного относительного сужения не превышает 4%. Незначительное изменение остаточного относительного сужения у сталей прошедших упрочнение холодной пластической деформацией на основе анализа многочисленных диаграмм растяжения ($P - \Delta\ell$) и механизма образования шейки на образце при испытании образцов на растяжение может быть объяснено тем, что образование шейки начинается при условном нагружении, равном пределу прочности (σ_y) или несколько меньшим его [3]. Характер участка диаграммы за точкой характеризующей предел прочности, не имеет значительных отличий для исходного и деформированного материала, основное отличие в диаграмме находится на той части, которая соответствует деформированию от начала растяжения до предела прочности. К началу же образования шейки неупрочненный образец удлинился значительно больше и изменил свою первоначальную площадь поперечного сечения больше, чем образец из упрочненного материала. Но так как на величину остаточного сужения, или точнее говоря, на величину конечной площади F_k более сильно влияет та часть изменения площади поперечного сечения, которая происходит после начала образования шейки, то и величины этих изменений существенных отличий для упрочненных и неупрочненных материалов не имеют и величина остаточного относительного сужения для упрочненной стали не показывает значительного снижения против исходной неупрочненной стали.

В институте физики металлов Уральского научного центра АН СССР были проведены исследования механических и магнитных свойств образцов холоднокатаных труб из нержавеющей стали ОХ18Н10Т при степенях деформации $\varepsilon_0 = 5 \div 45\%$ [4]. Пластическая деформация аустенитных нержавеющих сталей типа 18-8 приводит к изменению их фазового состава вследствие протекания $\gamma - \alpha$ превращения. Возникающая при этом α -фаза (мартенсит деформации) оказывает существенное влияние на механические и магнитные свойства. По материалам исследований [4] на рис. 3 представлены зависимости изменения предела текучести σ_t , предела прочности σ_y и остаточного относительного удлинения $\delta\%$.

Характер и закономерность деформационного упрочнения (наклепа) аустенитных сталей по этим механическим характеристикам полученные нами (рис. 1) и в работе [4] совпадают.

Значительный интерес представляет поведение ударной вязкости для аустенитных сталей при упрочнении их холодной пластической деформацией (рис. 2). Установлено, что ударная вязкость при -20°C выше, чем при $+20^{\circ}\text{C}$. Это отличительная особенность аустенитных сталей. Результаты испытаний на ударный изгиб упрочненной стали 12x18H10T показывают, что удар-

ная вязкость в зависимости от степени деформации в интервале $\varepsilon_0 = 0 \div 20\%$ меняется незначительно, как при температуре $+20^\circ\text{C}$, так и при температуре -20°C и -40°C . Так сталь 12x18H10T при величине ударной вязкости исходного материала $KCU = 262 \frac{\text{Дж}}{\text{см}^2}$ после холодного пластического деформирования ($\varepsilon_0 = 20\%$) имела практически такую же величину $KCU = (256 \div 260) \frac{\text{Дж}}{\text{см}^2}$. При величине $\varepsilon_0 \leq 10\%$ изменение ударной вязкости для стали 12x18H10T по параметру KCU обнаружить не удалось. Изменение ударной вязкости для сталей 12x18H10T и 12x18H9T в зависимости от степени деформации по параметру KCV существенного отличия от параметра KCU не имеет. Зависимость изменения ударной вязкости аустенитных сталей 12x18H9T и 12x18H10T от степени деформации при отрицательных температурах (-20°C) носит тот же характер, что и при положительных температурах.

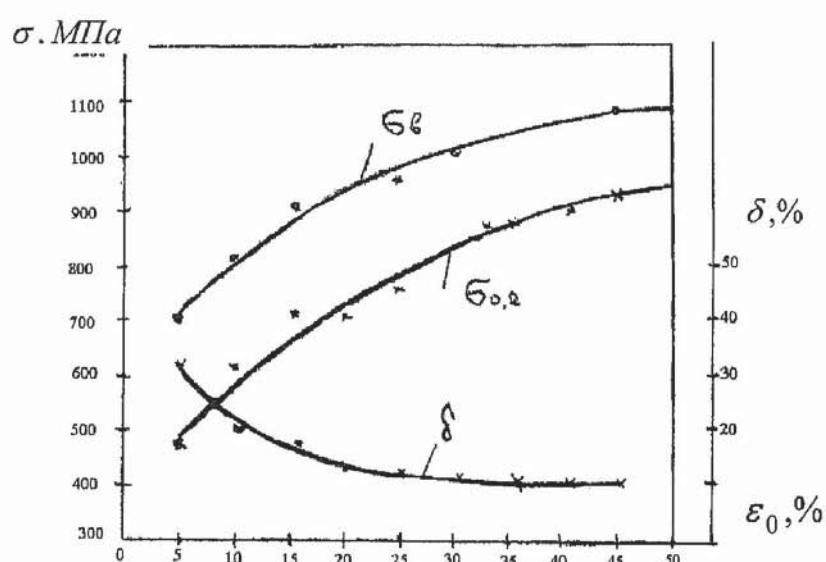


Рис. 3. Механические характеристики образцов холоднокатанных труб из стали 0x18H10T в зависимости от степени деформации по данным Института физики металлов Уральского научного центра АН СССР

Анализ технологических операций, выполняемых с применением холодного пластического деформирования показывает, что подавляющее их большинство выполняется при величине степени деформации $\varepsilon_0 \leq 10\%$ (вальцовка обечаек и конусов, гибка труб, правка, гибка фланцев из полосы, калибровка кольцевых деталей и заготовок пластическим растяжением и обжатием). Материалы выполненных исследований изменения ударной вязкости при деформационном упрочнении аустенитных сталей позволяют сделать вывод, что ударная вязкость этих

сталей при степени деформации $\varepsilon_0 \leq 10\%$ практически сохраняет величину ударной вязкости исходного материала или близка к ней.

Для комплексной оценки работоспособности деталей машин и аппаратов, прошедших деформационное упрочнение (наклеп), значительный интерес представляют исследования влияния наклена на усталостную прочность материала в условиях работы при циклически меняющихся напряжениях. Нами выявлялось влияние деформационного упрочнения на предел выносливости σ_R . Испытания проводились при симметричном цикле нагружения в условиях чистого изгиба на установке МУИ-6000. образцы вырезались и изготавливались из прутков прошедших упрочнение пластическим растяжением (рис. 4, а, б).

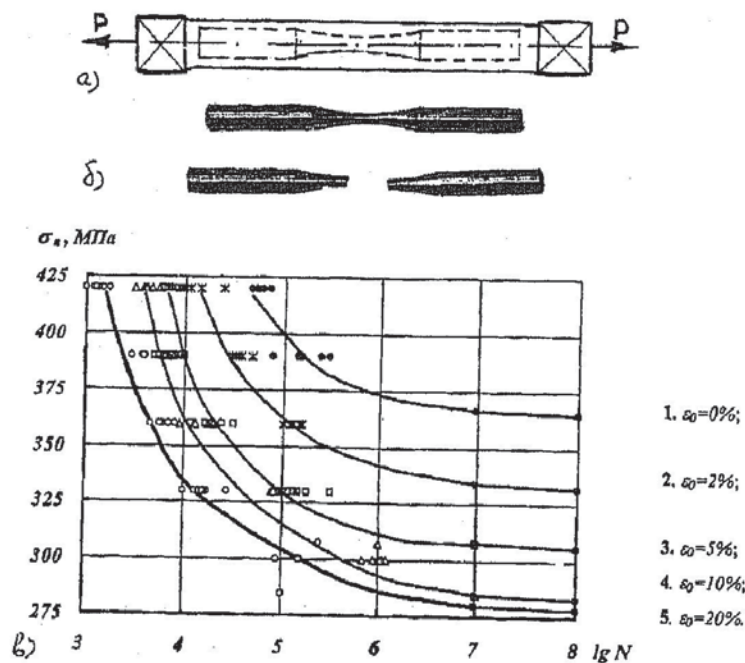


Рис. 4. Исследование прочности стали 12x18H10T при циклически меняющихся напряжениях в зависимости от степени деформации материала ε_0 :

а – схема деформирования исходного металла; б – образцы для испытания на усталость; в – кривые усталости

Полученные экспериментальные результаты статистически обрабатывались по ГОСТ 25.502-79. По результатам испытаний построены кривые усталости (кривые Велера) в полулогарифмических координатах (рис. 4, в).

Из анализа кривых усталости следует, что их расположение для упрочненной стали выше кривой усталости исходного материала (кривая 1) и тем выше, чем выше степень деформации ε_0 . Следовательно, сталь аустенитного класса проявляет способность к упрочнению не только по пределам текучести σ_t , прочности σ_e , твердости (НВ), но и по пределу выносливо-

сти (σ_{-1}). Все эти механические характеристики повышаются в зависимости от степени деформации. Нами исследовалось поведение этих характеристик в интервале степени деформации $\varepsilon_0 = 0 \div 20\%$.

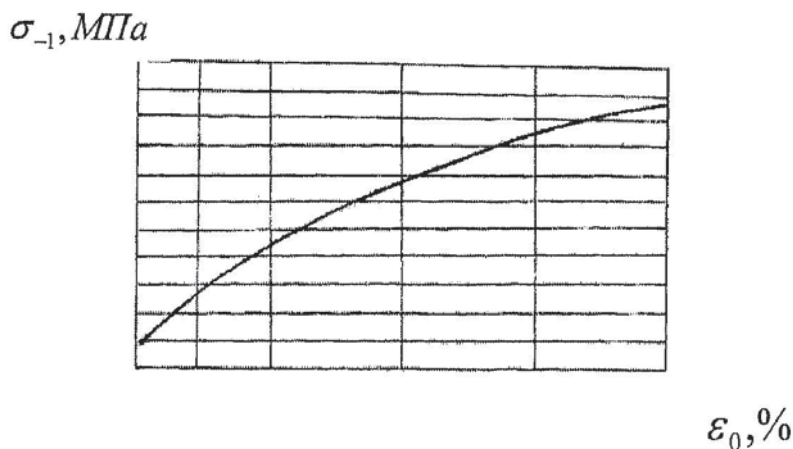


Рис. 5. Зависимость предела выносливости σ_{-1} от степени деформации (ε_0)

для аустенитной стали 12x18H10T

Результаты испытаний упрочненной аустенитной стали 12x18H10T на усталостную прочность показали существенное повышение предела выносливости (σ_{-1}) в зависимости от степени деформации и представлены на рис. 5.

Изменение фазового состава аустенитных сталей с содержанием никеля от 8 до 12% пластической деформацией ведет к изменению магнитных свойств этих сталей, так α - железо обладает ферромагнитными свойствами, а у γ - железа они отсутствуют. Немагнитные аустенитные стали до деформации становятся магнитными после деформации и при этом, чем выше степень деформации, тем сильнее проявляются магнитные свойства. Это явление может быть использовано при определении величины α - фазы [4] и некоторых механических характеристик деформированной стали.

Итак, при пластическом деформировании аустенитных сталей наблюдается деформационное упрочнение за счет одновременного протекания двух процессов: дислокационного и фазового перехода γ - железа в α - железо с образованием мартенсита деформации.

На основании аппроксимации экспериментальных данных получена зависимость для определения предела выносливости аустенитных сталей, прошедших деформационное упрочнение (интервал $\varepsilon_0 = 0 \div 20\%$), в зависимости от исходного предела выносливости и степени деформации:

$$\sigma_{-1d} = \sigma_{-1} + (5,7 - 0,06\varepsilon_0)\varepsilon_0,$$

где $\sigma_{-1\delta}$ - предел выносливости упрочненной стали; σ_{-1} - предел выносливости исходной не-деформированной стали; ε_0 - степень деформации.

Активное упрочнение аустенитных сталей пластическим деформированием с сохранением при этом сталью высокой пластичности дает основание для широкого применения упрочняющих металлосберегающих технологий.

Вследствие повышения прочностных характеристик ($\sigma_t, \sigma_\epsilon, \sigma_{-1}$) аустенитных сталей при пластическом деформировании, в расчетах на прочность целесообразно рассматривать вопрос о повышении допускаемых напряжений [σ] на 15÷20%, но при этом в технических требованиях на изготовление детали или узла должно быть заложено требование о проведении упрочняющей технологии (операции) с указанием степени деформации.

СПИСОК ЛИТЕРАТУРЫ

1. Гуляев А.П. Металловедение. М.: Металлургия, 1986. – 544 с.
2. ГОСТ 5632-72. стали высоколегированные и сплавы коррозионно-стойкие, жаростойкие и жаропрочные марки. М., 1972. – 59 с.
3. Малинин Н.Н. Прикладная теория пластичности и ползучести. М.: Машиностроение, 1968. – 400 с.
4. Михеев М.Н., Беликова М.М., Витковова Р.Н. и др. Электромагнитный метод определения мартенсита деформации в нержавеющих стальях// Дефектоскопия, № 10. 1985. – с. 48-51.
5. ГОСТ 25.502-79. Расчеты и испытания на прочность в машиностроении. Методы механических испытаний металлов. Методы испытаний на усталость. М., 1980. – 32 с.
6. Бубнов В.А. Повышение точности обечайек и заготовок фланцев пластическим растяжением// Химическое и нефтяное машиностроение. 1985, № 10. – с. 26-27.
7. Бубнов В.А. Совершенствование конструкции и технологии изготовления роторов маятниковых центрифуг// Химическое и нефтяное машиностроение. 1986, № 4. – с. 28-29.
8. Бубнов В.А. Металлосберегающая технология изготовления фланцев химического оборудования// Химическое и нефтяное машиностроение. 1987, № 5. – с. 32-34.
9. Бубнов В.А., Вотинов В.А. Повышение точности эллиптических днищ пластическим обжатием// Кузнечно-штамповочное производство. 1988, № 9. – с. 21-22.
10. Громова А.Н., Завьялова В.И., Коробов В.К. Изготовление деталей из листов и профилей при серийном производстве. М.: Оборонгиз, 1960. – 343 с.
11. Мошнин Е.Н. Гибка, обтяжка и правка на прессах. М.: Машгиз, 1959. – 360 с.